

TÜRKİYE'DE ÜRETİLEN BAZI AKRİLİK LİFLERİN UZAMA VE BURULMA ÖZELLİKLERİ İLE BAZI İÇ YAPI ÖZELLİKLERİNİN ARAŞTIRILMASI

Yard. Doç. Dr. Faruk BOZDOĞAN
Adnan Menderes Üniversitesi
Söke Meslek Yüksekokulu
Söke-AYDIN

Bu çalışmada Türkiye'de üretilen bazı akrilik liflerinin uzama ve burulma özellikleri ile bazı iç yapı özellikleri incelenmiş, literatür ile karşılaştırılmıştır.

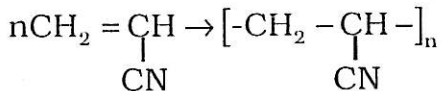
INVESTIGATIONS ON TENSILE AND TORSIONAL PROPERTIES WITH SOME INNER STRUCTURAL PROPERTIES OF SOME OF THE ACRYLIC FIBERS PRODUCED IN TÜRKİYE

The tensile and torsional properties with some inner structural properties of some of the acrylic fibers produced in Türkiye have been investigated in this work and they have been compared with those given in the literature.

1. GİRİŞ

Akrilik (Poliakrilenitril) lifleri en az % 85 akrilonitril $[-\text{CH}_2 - \text{CH}(\text{CN}) -]$ ünitelerini içeren polimerlerden oluşur. Bunlar karbon - karbon iskelet zirciri içeren vinil polimer türleri içinde özel bir sınıfı temsil ederler. Akrilonitril, 1893 yılında Almanya'da elde edilmiş olmasına rağmen 1930 yılına kadar sadece laboratuvar çalışmalarında incelenmiş bir maddedir. Fakat daha sonra kauçuk yetersizliğinin gittikçe kendini göstermesi karşısında önem kazanmaya başlamıştır.

Akrilonitrilin uygun insiyatörler kullanarak, radikal zincir polimerizasyonuna göre polimerleşmesi sonucunda poliakrilenitril



elde edilmiştir. İlk poliakrilenitril liflerinin piyasaya çıkması 1942 yılında Du pont firması tarafından gerçekleştirılmıştır. Bu lifin adı "Fiber A"dir. İlk liflerde görülen boyanma probleminin boyama tekniklerinin gelişmesiyle aşılmasıından sonra akrilik liflerinin tekstil sektöründe kullanılması önem kazanmaya başlamıştır. 1950 yılında filament şeklinde "orlon" adıyla pi-

yasaya sürülmüştür. 1952 yılından itibaren ise şapel lif olarak üretilmeye başlanmıştır. O yıllardan günümüze üretim hızla artmaya devam etmiştir.

Akrilonitrilin polimerizasyonu endüstride iki şekilde yapılabilmektedir.

Bunlardan birincisi "Süsپansiyon Polimerizasyonu"dur. Burda insiyatör olarak redoks sistemler kullanılmaktadır. En çok kullanılan redoks sistemler persülfat/bisülfat sistemleridir. Komonomer ve akrilonitril su ile iyi bir süspansiyon haline getirildikten sonra polimerizasyon gerçekleştirilmekte ve reaksiyon sonunda çöken polimerler süspansiyondan ayrıldıktan sonra yıkanmaktadır.

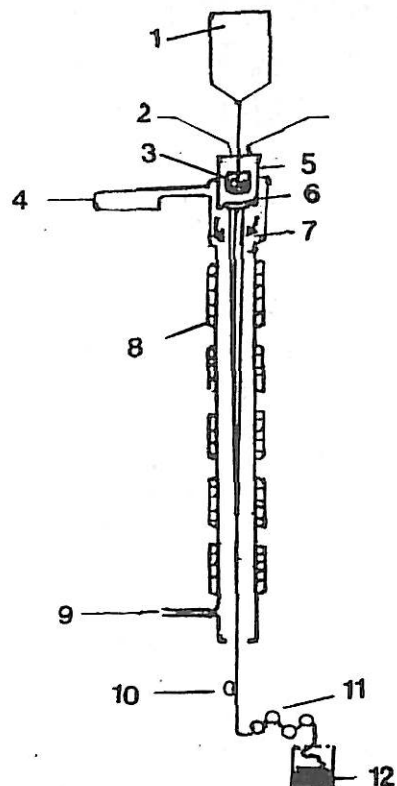
Ikinci polimerizasyon ise "Çözelti Polimerizasyonu"dur. Akrilonitril ve uygun komonomerlerin polimerizasyonu, bunları ve oluşan polimerleri çözen uygun çözgenler içerisinde sağlanmaktadır. Çözücü olarak, dimetilformamid (DMF), dimetilasetamid (DMA), dimetilsülfoksilat (DMSO) gibi organik veya sodyumrodenuร çözeltisi gibi anorganik çözücüler kullanılmaktadır. Insiyatör olarak da, amonyum-persülfat, azobis-isobutironitril gibi radikal oluşturucular kullanılmaktadır.

Halen dünyada üretilen poliakrilnitrilin % 75'i süspansiyon, % 25'i ise çözelti polimerizasyonu metoduyla üretilmektedir.

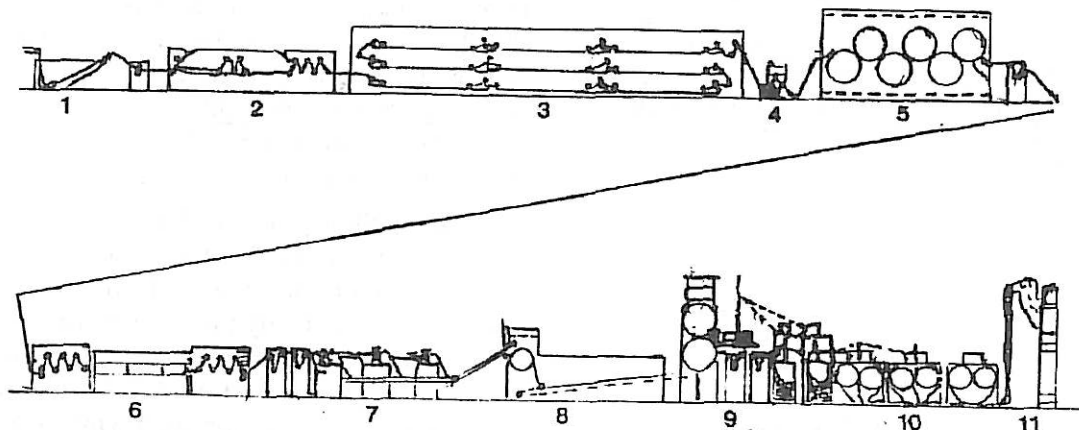
Poliakrilnitril polimerlerinden lif çekimi iki şekilde yapılmaktadır.

a) Kuru lif çekim yöntemi: Kuru lif çekim yönteminde çözücü olarak sadece DMF kullanılmaktadır. Lif çekim çözeltisi % 25-30'luktur. Düzeden fişkirtılan lif çekim çözeltisinin, 310-400 °C deki sıcak N₂ gazi ile teması sonucunda DMF buharlaşmakta ve lifler karışmaktadır. Şekil 1'de kuru lif çekim yöntemine göre PAC lifinin elde edilişi görülmektedir.

b) Yaşı lif çekim yöntemi: Kuru lif çekimine nazaran oldukça daha yaygın olan, diğer bir deyişle tüm PAC lifi üretimin % 72'sini teşkil eden bu yöntemde, kuru lif çekiminden farklı olarak DMF yanında başka çözüçüler de kullanılmaktadır. Tablo 1'de yaş lif çekiminde endüstriyel olarak kullanılan çözüçüler, bu çözüçülerle çalışıldığından uygulanan çöktürme banyosu bileşimi ve sıcaklık ile bu çözücüyü kullanarak yapılan üretimin tüm PAC üretiminin yaklaşık yüzde kaçını oluşturduğu toplu halde belirtilmiştir.



Sekil 1. Kuru lif çekim yöntemine göre PAC lifi elde edilişi. 1. PAC çözeltisi, 2. Soğutma suyu, 3. Dişli çarklı dozaj pompası, 4. İnert gaz girişi ve gaz ısıtıcı, 5. Lif çekme başlığı, 6. Düze, 7. Lif çekme kanalı, (4.9 m), 8. Isıtma (150-210 °C), 9. DMF içeren inert gaz çıkıştı (DMF'nin geri kazanılması), 10. Preperasyon valsi, 11. lif çekimi valsleri, 12. Kova



Sekil 2. PAC yaş lif çekim tesisi. 1. lif çekimi, 2. Yaşı gerdİRme, 3. Yıkama, 4. Preperasyon, 5. Kurutma, 6. Ard gerdİRme, 7. Kivirciklaştırma, 8. Buharlama, 9. Soğutma, 10. Kesme, 11. Balya.

Tablo 1. Yağ lif çekim yöntemine göre PAC lifi üretiminde kullanılan çözüçüler ve çalışma koşulları

Çözücü	PAC-Çözeltilisinin konsantrasyonu (%)	Lif Çöktürme banyosunun bileşimi	Lif çöktürme banyosunun sıcaklığı (°C)	Tüm PAC üretimi içindeki % payı
% 100 DMA Setamid	20	% 40-65 DMA % 60-35 Su	20-30	25
% 50 NaSCN % 50 Su	10-15	% 10-15 NaSCN % 90-85 Su	0-20	21
% 100 DMF	17-25	% 40-60 DMF % 60-40 Su	5-25	10
% 70 HNO ₃	10-13	% 30 HNO ₃	3	8
% 30 Su		% 70 Su		
% 54 ZnCL ₂	10	% 14 ZnCL ₂	25	4
% 4 NaCL		% 1 NaCl		
% 42 Su		% 85 Su		
% 100 DMSO	20	% 50 DMSO		
% 90-85 EGK % 10-15 Su	15-20	% 50 Su % 20-40 EGK % 80-60 Su	10-40 40-90	33 1

Akrilik lifler bugün geniş çapta kullanılmakta olup filament, tow ve şapel olarak üretilmektedir. Türkiye'de halen akrilik lif "AKSA" ve "Yalova Elyaf" fabrikalarında üretilmektedir.

Akrilnitrilin polimerizasyonu ve lif elde edilişini ana hatları ile inceleyelim:

Monomer ve katalizör, su ile birlikte belli oranda reaktöre verilir. Monomer, akrilnitril ve vinilasetat karışımıdır. Akrilnitril ve vinilasetat ayrı ayrı depolardan gelerek bir tankta karıştırılır. Tankın sıcaklığı 25 °C'nin üzerine çıkmamalıdır. Monomer yaklaşık olarak % 8 vinilasetat ve % 92 akrilnitril ihtiva eder.

Katalizör olarak potasyumpersülfat kullanılır. PH'ı ayarlamak için tampon olarak sodiyumbikarbonat ilave edilir. PH H₂SO₄ vasisıyla ayarlanır. Reaktöre ayrıca demir ve SO₂ gazı da verilir. Fe⁺⁺ iyonu, persülfat tarafından Fe⁺⁺⁺ haline getirilir. SO₂ de Fe⁺⁺⁺ ü Fe⁺⁺ ye indirger. Bunun amacı serbest radikal elde etmektir.

Monomer miktarının 3-5 katı arasında su ilave edilir. Fe⁺⁺, FeSO₄ halinde bir tankta çözüldükten sonra verilir. Persülfat ile sodyum-bikarbonat karıştırılarak verilir.

Reaksiyon ekzotermik olduğundan reaktör çeketlidir. Soğutucu olarak su kullanılır.

Hammadde üst kısmından verilir. Polimerleşmiş madde ise yine üst kısmında taşarak su ile birlikte akar. Azot gazı hammadde ile birlikte verilir. Reaktör sıcaklığı 50-60 °C arasındadır. Reaktördeki polimerleşme miktarı ise % 80- 85 arasındadır. Reaktörden taşan polimer, su ve diğer maddeler karışımı (slöri) 1. slöri denen tanka gelir. Burada polimerizasyonu durdurmak için inhibitör ilave edilir. Inhibitör olarak EDTA kullanılır. EDTA çözelti halinde verilir.

1. slöriden sonra mal filtrelerden geçer. Polimerin yıkanması için filtrelere 50-60 °C de-minarile su püskürtülür. Filtrelerden çamur halinde ayrılan polimer tekrar sulandırılarak 2. slöriye gelir. 2. slöride hiçbir ilave yapılmaz.

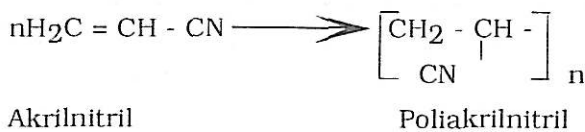
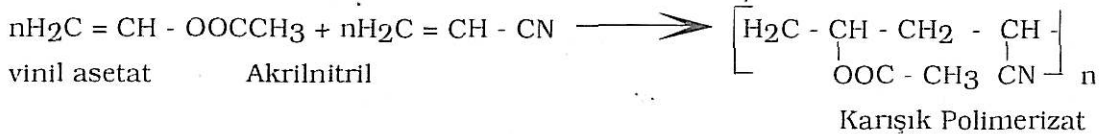
Buradan mal tekrar filtreden geçirilerek polimer ayrılır. Bu filtrelerde de yıkama yapılır.

Her iki filtreden ayrılan süzüntü beraberce geri kazanma tesisine gönderilir.

Ikinci filtreden çıkan polimer % 60 su ihtiyaç etmektedir. Buradan ekstrudere gelerek, ekstruder plakası denen delikli levhadan makarna çubuguına benzer şekilde fişkirltilir. Buna pelet denir. Çıkan pelet bir bantın üzerine düşer. Ikinci bir bant vasıtasyyla kurutma bantı üzerine düzgün olarak yayılır. Kurutma bantı deliklidir. Bir kurutucu içinden geçerken sıcak hava ile kurutulur. Kurutucunun giriş sıcaklığı 80 °C dir. Sıcaklık 130 °C ye kadar çıkar. Kurutucudan geçme süresi 30-40 dakikadır.

Poliakrilnitril kurutulduktan sonra bir siloda depolanır ve oradan da öğütülmek için değirmene gönderilir. Burada öğütülerek toz haline getirilir. Toz polimer hava ile emiliip "DOP" tesisine gider.

Polimerizasyon şu şekilde olmaktadır:

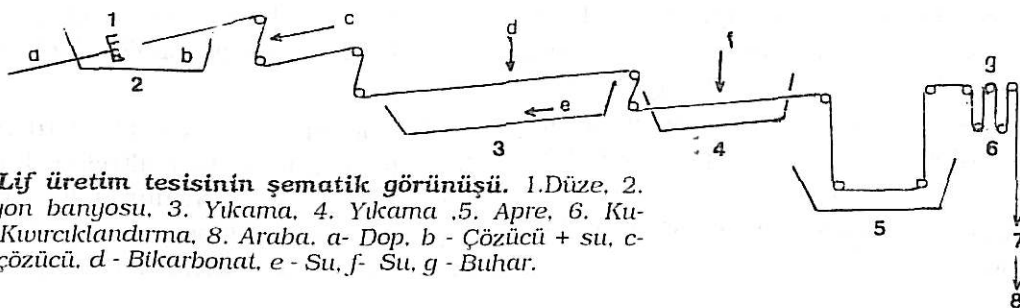


Polimer silolarından gelen polimer, bir slöride çözücü ile karıştırılır. Çözücü olarak dimetilasetamid kullanılır. Polimer miktarı % 15-30 dur. Buradan çıkan slöri (Çözelti) esanjörlerde 80-90 °C ye kadar ısıtılır ve hemen 55-60°C ye kadar soğutulur. Soğutma işleminden sonra gaz alıcıya giderek, çözeltinin havası alınır. Bundan sonra filtre preslerden geçen çözelti (dop), dop depolama tankına gelir. Bütün dop tesisi azot gazı ortamındadır. Matlak elde edil-

mek isteniyorsa, çözücüye Ti O₂ ilave edilir. Yarı matta % 0,4-0,6 tam matta ise %1 Ti O₂ ilave edilir.

Hazırlanan dop lif üretimi için lif tesisine basılır. Bir esanjörde 80-90 °C ye kadar ısıtılan dop düzeler gelir. Basınçla düzelerden fişkirltilir. Düzeler 40-50 °C deki koagülasyon banyosu içerisinde sindirilir. Banyoda çözücü (dimetilasetamid) ve su vardır. Koagülasyon banyosundan lif, yıkama banyosuna gelir. Burada 4-7 misli çekme yapılır. Yıkama kaynar su ile yapılır. Bu su, çözücü kazanma ünitesinden gelen, içersinde az miktarda çözücü ihtiyaç eden sudur. Lif asidik olduğundan, yıkama banyosuna nötralize etmek için sodyumbikarbonat ilave edilir. Bundan sonra temiz bir su ile ikinci bir yıkama yapılır. Yıkamadan sonra apre banyosundan geçirilir. Apre banyosu, antistatik madde ve yumuşatıcı maddeler ihtiyaç eder. Apre maddesi lif üzerinde % 0,4 oranında kalır. Bundan sonra kurutma kısmına gelen lifler, içersinden

6-7 atmosferlik basınç ile 150 °C de buhar geçen merdaneler vasıtasyyla kurutulur. Kuruyan lifler kıvırcıklandırılır ve arabalara doldurulur. Burdan fiksaj kısmına gider. Fiksaj 130-140 °C de otoklav içerisinde yapılır. Fiksaj 25-40 dakika sürer. Önce vakum yapılır. Sonra buhar verilir. Tekrar vakum yapılarak buhar boşaltıldıktan sonra havalandırılır. Böylece kıvırcıklanma sabitleşmiş olur. Otoklavdan çıkan lif büzüldüğü için bir yapışma ve sertleşme olur. Bunun için tekrar buharla muamele edildikten sonra ikinci defa kıvırcıklandırılır. Böylece rölaus tow elde edilmiş olur. Rölaus tow kesilebilir veya tops olur. Şekil 3'de lif tesisinin şematik şekli görülmektedir.

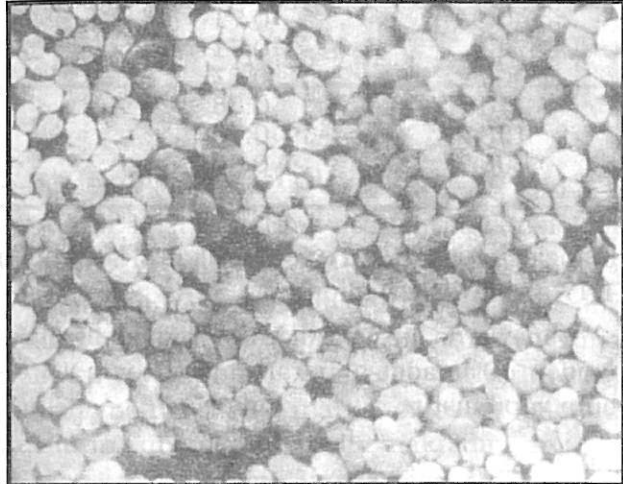


2. DENEYSEL ÇALIŞMA

2.1. Deneylerde Kullanılan Materyaller

Bu çalışmada AKSA fabrikasından dokuz farklı lif numarasında röllaks tow örnekleri alınmış ve incelenmiştir.

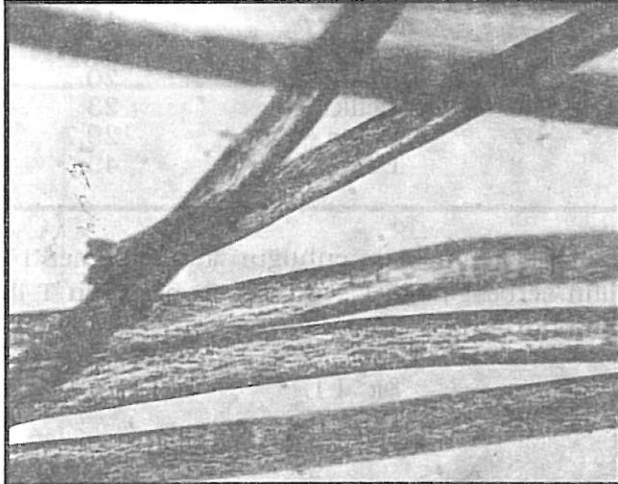
AKSA, Türkiye Tekstil Endüstrisi'ne gerekli hamaddeyi üretmek amacıyla 1968 yılında kurulmuştur. Akrilik lif Türkiye'de ilk olarak 1971 yılında AKSA tarafından üretilmiştir.



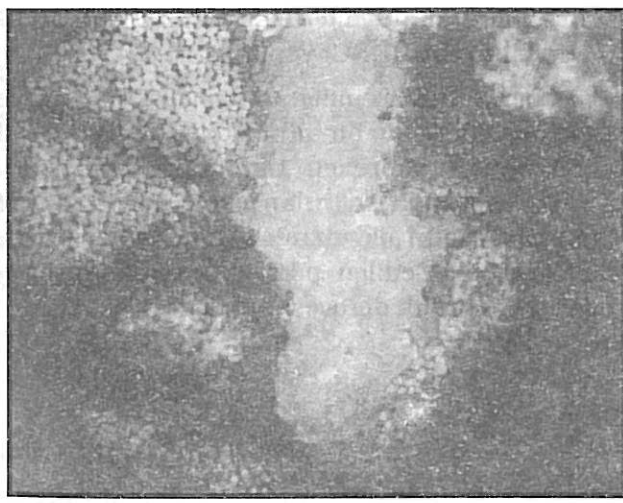
Fotoğraf 1. Akrilik liflerin boyuna görünüşleri

Halen dünyanın en büyük dört lif üretme tehisinden biri olma başarısını göstermektedir. AKSA ürünün bilinen ticari marka adı "Ak-sacryl" dir.

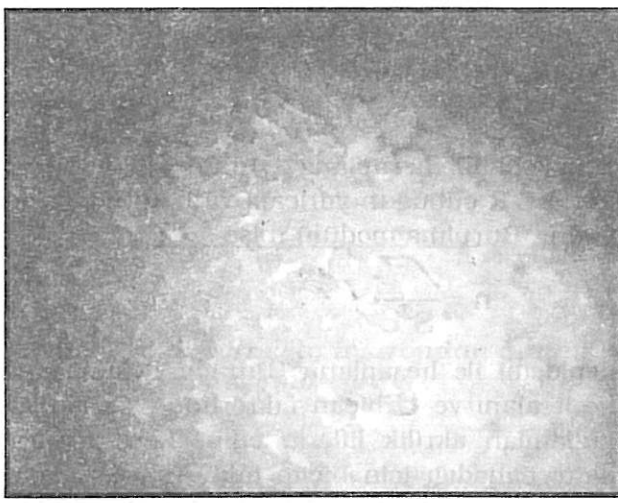
Çalışmada kullanılan liflerin bazlarının enine ve boyuna görünüşleri ile farklı kompozisyonlardaki fotoğrafları polarize mikroskopta çekilmiştir. Bu fotoğraflar Fotoğraf 1, 2, 3 ve 4'de verilmiştir.



Fotoğraf 2. Akrilik liflerin enine kesitleri



Fotoğraf 3. Akrilik liflerin enine kesitleri



Fotoğraf 4. Akrilik liflerin enine kesitleri

2.2. Deney Yöntemleri

2.2.1. Çekme - Koparma Deneyi

Örneklerde çekme deneyi instron aletinde yapılmıştır. Her farklı numaradaki lif örneğinden 10'ar adet alınarak deneyler yapılmıştır.

2.2.2. Burulma Deneyi

Burulma deneyi burulma sarkacı düzeneğinde yapılmıştır. Deney düzeneğinin ve deney örneklerinin hazırlanmasında Meredith (1954) ve Owen (1965)'in çalışmaları izlenmiştir.

Çalışmalarda burulması incelenecek lifte asılan ataletli çubuğun lifte 0,05-0,2 g/tex arasında bir gerilme meydan getirmesi halinde, lif boyu ve salınım periyodu hemen hemen değişmez (Meredith, R. 1954). Dolayısıyla öncelikle lifin numarasına göre gerilme sınırları içinde gerilmeyi sağlayacak ataletli çubuk seti hazırlanmıştır. Çubukların özellikleri Tablo 2'de verilmiştir.

Tablo 2. Çubuk Seti

Sıra No.	Çubuğun Yapıldığı Madde	Çubuk Boyu (mm)	Çubuğun Kütlesi (mg)	Çubuğun Çapı (mm)
1	Konstantan	19	16	0.35
2	Konstantan	33.6	27	0.35
3	Çelik	13.3	40.9	0.71
4	Çelik	25	74.5	0.71
5	Bakır	20	90.3	0.87
6	Çelik	23	110	0.88
7	Bakır	29.7	128.2	0.86
8	Bakır	45	198.7	0.86

Lif eksenine göre çubuğun atalet momenti I, lifin serbest boyu L, ve titreşim periyodu T ile lifin burulma riyitliği

$$\sqrt{I} = \frac{8\pi^3 I L}{T^2}$$

denklemi ile hesaplanır. Çubuğun atalet momenti

$$I = \frac{1}{12} m (3R^2 + L^2)$$

denklemi ile hesaplanır. Burada m çubuğun kütlesi, R çubuğun yarıçapı ve L çubuğun boyudur. Burulma modülü n ise

$$n = \frac{\sqrt{I}}{S^2 \epsilon}$$

denklemi ile hesaplanır. Burada S lifin enine kesit alanı ve ϵ biçim faktöründür. Çalışmada kullanılan akrilik liflerin enine kesit alanları daire olmadığı için biçim faktörü 0,57 olarak alınmıştır. (Morton, W.E., Hearle, J.W.S., 1975). S'yi elde etmek için

$$S = \frac{m}{\rho}$$

bağıntısı kullanılır. Burada m birim uzunluk başına kütle, ρ ise lifin farzolunan yoğunluktur. Çalışmada literatürde belirtilen (Har-

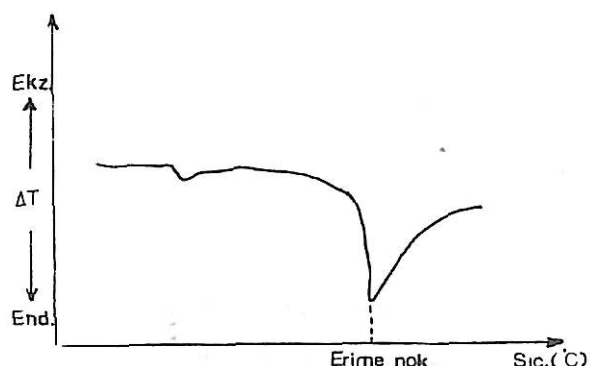
mancıoğlu M., 1981) ve fabrikada kullanılan 1.17 g/cm³ değeri alınmıştır.

Deneylerde her farklı numaradaki lif örneğinden 10'ar adet alınarak her biri için 15 ölçüm yapılmıştır.

2.2.3. Termal Analiz (DSC) Deneyi

Termal analiz deneyi Gebze TÜBİTAK Araştırma Merkezinde diferansiyel tarayıcı kalorimetre cihazında (DSC) yapılmıştır.

Deneyde birkaç miligram örnek kullanılır ve sıcaklıkla değişen bir grafik elde edilir. (Şekil 4). Bu grafikten örneğin termik geçmişi izlenir. Erime esnasında sağlanan enerji kayıt edicide bir endotermik pik olarak algılanıp kayıt edildiğinden, elde edilen pikin alanından yararlanılarak kristallik derecesi bulunur.



Şekil 4. Termal analiz (DSC) grafiği

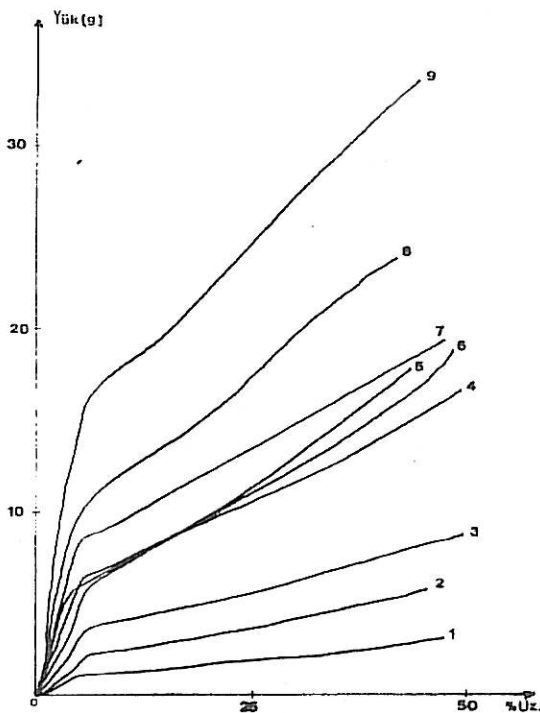
Tablo 3. Instron mukavemet ölçme aletinde elde edilen temel parametreler

Sıra No.	Lif Numarası (Denye)	Lif Kopma Yükü (g)		Lif Kopma Uzama (%)	
		Ort.	S.S.	Ort.	S.S.
1	1.17	3.00	0.69	47.05	4.70
2	2.08	5.55	1.03	44.95	4.52
3	3.08	8.56	0.89	49.00	2.80
4	5.49	16.66	1.23	48.80	4.59
5	5.94	17.90	1.45	43.05	2.95
6	6.75	18.80	1.69	48.55	4.58
7	8.37	19.25	1.42	46.75	1.16
8	9.63	23.90	2.77	41.45	4.65
9	14.85	33.55	4.26	44.20	2.84

2.2.4. Erime Noktası Ölçümü Deneyi

Akrilik liflerinin erime noktaları mikroskopik metodu ile incelenmiştir. (Zimmer - 877, 07095 -2).

Deney düzeneği Dialux 20 EB marka bir mikroskop, Mettler FP5 marka ısıticili erime noktası ölçüm cihazı, örneğin yerleştirileceği ısıticili mettler FP52 marka cihaz ve kablolu durdurma düğmesinden oluşmaktadır.



Şekil 5. Dokuz örneğin instrondan alınan yük-uzama eğrileri

3. SONUÇLAR ve TARTIŞMA

3.1. Deney Sonuçları

3.1.1. Çekme- Koparma Deneyi

Instron mukavemet ölçme aletinde elde edilen deney sonuçları Tablo 3'de yazıcısından alınan yük-uzama grafiklerinin ortalamaları Şekil 5'de gösterilmiştir.

3.2.1. Burulma Deneyi

Burulma deneyi sonucu elde edilen periyod değerleri Tablo 4'de verilmiştir.

Tablo 4. Burulma Deneyi Sonuçları

Sıra No.	1	2	3	4	5	6	7	8	9
Lif Num. (Denye)	1.17	2.08	3.08	5.49	5.94	6.75	8.37	9.63	14.85
Periyot Orta T (s)	14.67	20.52	5.21	3.27	3.55	4.36	6.35	6.97	7.80
S.S.	2.68	3.45	1.05	0.27	0.26	0.57	2.55	2.05	168

3.1.3. Termal (DSC) Deneyi

Termal analiz (DSC)'i yapılan örnekler ve alınan miktarları Tablo 5'de gösterilmiştir.

Tablo 5. Termal analiz (DSC) örnekleri

Sıra No.	1	2	3	4	5	6	7	8	9
Lif Num. (Denye)	1.17	2.08	3.08	5.49	5.94	6.75	8.37	9.63	14.85
Örnek Tar. (mg)	5.1	5.9	7.5	5.8	11.4	9.6	6.0	9.9	8.9

DSC analizlerinden elde edilen grafikler Şekil 6 ve 7'de verilmiştir.

3.2.4. Erime Noktası Ölçümü Deneyi

Liflerin erime noktası sıcaklıklarının tespiti için ısıtma sıcaklıkları kademeli olarak artırılmış ve mikroskop altında izlenmişlerdir. Dokuz örnek de yaklaşık aynı sıcaklıklar civarında benzer davranışları göstermişlerdir.

215 °C sıcaklığı kadar ısıtılan liflerde hiç hareketlilik ve şekil değişimi gözlenmemiştir. 215 °C den itibaren liflerde hafif kırıldanmalar başlamış, 240 °C civarında bu hareketlilik artmıştır. 240 °C ile 260 °C arasında daha da artan hareketlilik 260 °C ile 273 °C arasında azalmıştır. 273 °C civarında liflerde sararma başlamış ve 280 °C civarında lifler koyu kahverengi renk almışlardır. 280 °Cden itibaren yavaş yavaş kararma başlamış, 300 °C civarında lifler tamamen siyah renk almışlar ve bozunmuşlardır.

3.2. HESAPLAMA SONUÇLARI

3.2.1. Çekme-Koparma Deneyi

Çekme-Koparma deneyleri sonuçlarından yararlanarak elde edilen hesaplama sonuçları Tablo 6'da gösterilmiştir.

3.2.2. Burulma Deneyi

Burulma deneyleri hesaplama sonucu Tablo 7'de gösterilmiştir.

3.2.3. Termal Analiz (DSC) Deneyi:

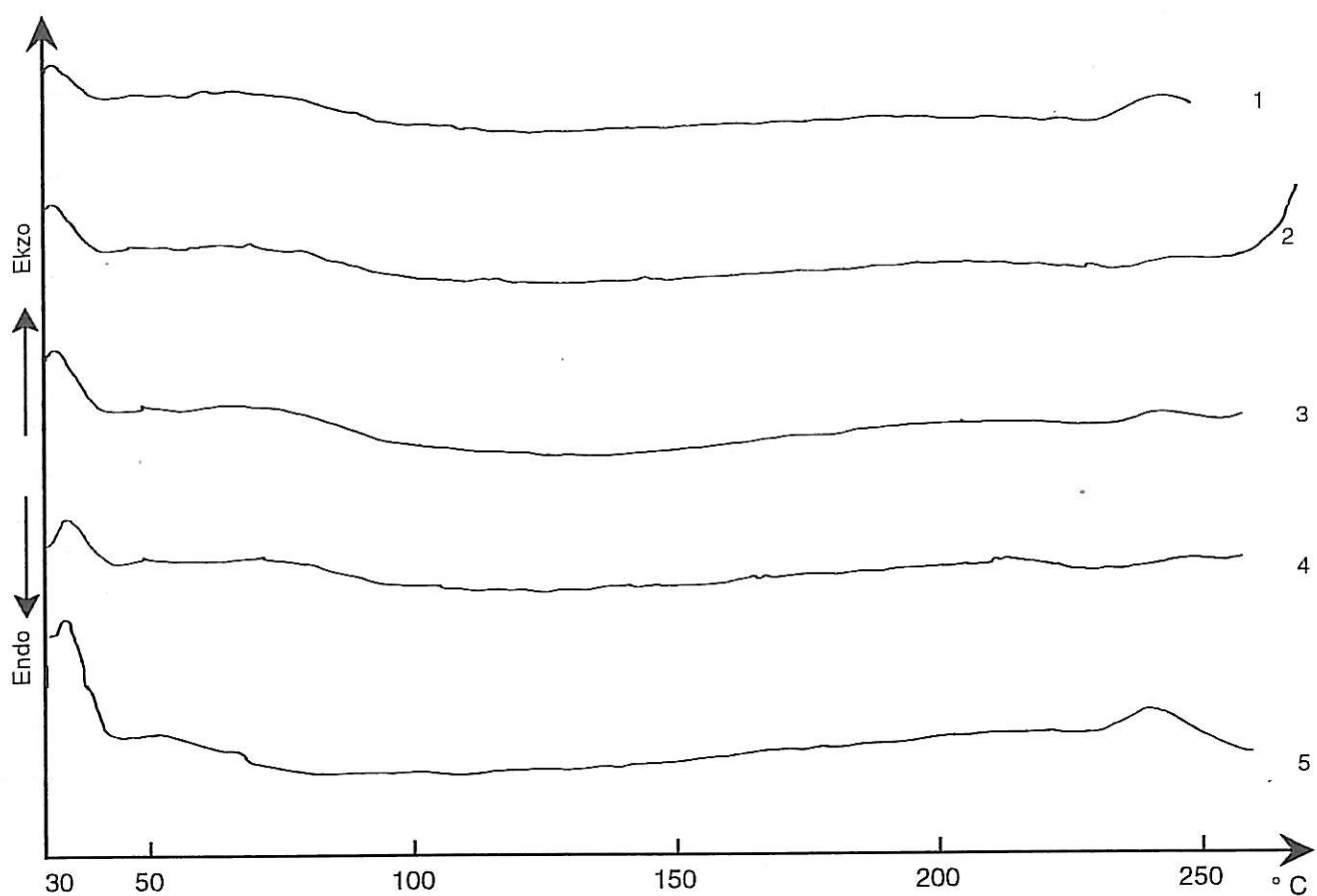
Termal analiz (DSC) deneylerinin hesaplama sonucu bulunan pik alanları ve pik sıcaklıkları Tablo 8'de verilmiştir.

3.3. LİNEER REGRESYON ANALİZİ SONUÇLARI

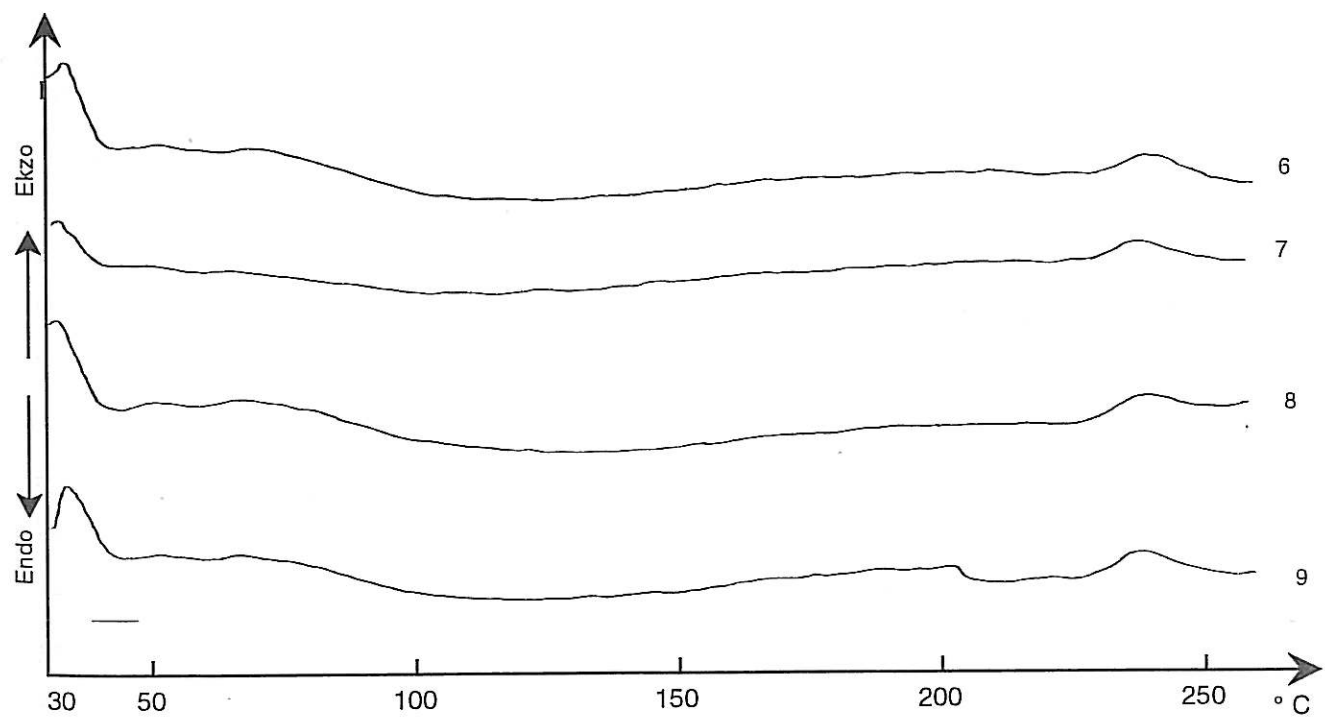
Uzama ve burulma ile ilgili büyüklükler arasındaki korelasyonlar ve regresyon denklemleri Tablo 9'da verilmiştir.

Tablo 6. Çekme - koparma deneyi hesaplama sonuçları

Sıra No.	Lif Numarası (Denye)	Kopma Mukavemeti (g/den)		Young Modülü ET (g/den)	
		Ort.	S.S.	Ort.	S.S.
1	1.17	2.56	0.59	34.79	9.51
2	2.08	2.67	0.49	28.57	4.99
3	3.08	2.78	0.29	34.94	3.86
4	5.49	3.04	0.23	35.05	3.33
5	5.94	3.01	0.24	40.99	7.12
6	6.75	2.78	0.25	37.88	5.68
7	8.37	2.29	0.16	34.18	5.56
8	9.63	2.48	0.29	32.19	4.27
9	14.58	2.26	0.29	31.82	5.15



Şekil 6. Termal analiz (DSC) grafikleri



Şekil 7. Termal analiz (DSC) grafikleri

Tablo 7. Burulma deneyi hesaplama sonuçları

Sıra No.	Lif Numarası (Denye)	Kullanılan Çubuğu'nın Atalet Momenti I (mg.cm ²)	Burulma Rijitliği (dyn/cm ²)		Burulma Modülü $n, x 10^{10}$ (dyn/cm ²)	
			Ort.	S.S.	Ort.	S.S.
1	1.17	4.81	0.010	$3.86 \cdot 10^{-3}$	1.50	0.55
2	2.08	25.40	0.032	$9.71 \cdot 10^{-3}$	1.46	0.44
3	3.08	6.04	0.123	0.046	2.55	0.96
4	5.49	38.83	1.84	0.30	11.85	1.94
5	5.94	38.83	1.55	0.24	8.55	1.31
6	6.75	30.14	0.82	0.21	3.51	0.88
7	8.37	48.54	0.84	0.48	2.39	1.30
8	9.63	94.30	1.16	0.38	2.43	0.80
9	14.85	335.40	3.09	1.27	2.73	1.13

Tablo 8. Termal analiz (DSC) hesaplama sonuçları

Sıra No.	1	2	3	4	5	6	7	8	9
Lif Num. (Denye)	1.17	2.08	3.08	5.49	5.94	6.75	8.37	9.63	14.85
Bozunma Piki Al. (mm ²)	64	24	48	24	224	120	88	116	144
Pik (°C) Sıcaklığı	245	241	242	246	241	241	238	240	248

Pik alanları pilanimetre ile ölçülmüştür. Grafiklerde endotermik olarak erime pikleri elde edilemediği için liflerin kristallik dereceleri hesaplanamamıştır.

Tablo 9. Uzama ve burulma ile ilgili büyükler arasındaki lineer regresyon analizi sonuçları

Büyükler	Regrasyon Denklemi	Korelasyon Katsayısı (r)
Kopma Uz (%) - Kopma Yükü (g)	$y = 47.93 - 0.110 x$	- 0.42
Kopma Uz (%) - Kopma Muk. (g/den)	$y = 38.28 + 2, 902 x$	0.30
Kopma Yükü (g) - Young Mod. (g/den)	$y = - 6.549 + 0.602 x$	0.31
Kopma Muk (g/den) - Young Mod. (g/den)	$y = 1.14 + 0,043 x$	0.55
Kopma Yükü (g) - Burulma Mod. (dyn/cm ²)	$y = 14.69 + 0.404 x$	0.15
Kopma Muk (g/den) - Burulma Mod. (dyn/cm ²)	$y = 2.406 + 0.059 x$	0.74
Young Mod. (g/den) - Burulma Mod. (dyn/cm ²)	$y = - 13.98 + 0.524 x$	0.52

3.4. SONUÇLARIN TARTIŞILMASI

Çalışmada elde edilen kopma mukavemeti, kopma uzaması, Young modülü ve burulma modülü sonuçlarının literatürde verilen kopma mukavemeti için 1,9-3,7 g/den, kopma uzaması için % 15-48, Young modülü (ET) için 40-53 g/den, burulma modülü (n) için $1,03 \cdot 10^{10}$ - $1,65 \cdot 10^{10}$ dyn/cm² değişim aralıkları ile büyük bir uyum gösterdiği (Farrow, B., 1956, Harmacioğlu, M., 1981, Mark, H.F., Goylard., 1969, Meredith, R., 1954, Owen, J.D., 1965, Seventekin, N., 1993), sadece birkaçının ET veya n değerlerinin sınırların üstünde veya altında olduğu görülmüştür. Dolayısıyla bu farklılığın iç yapıdaki bir takım farklılıklara diğer bir değişle alıcı firmaların taleplerine uygun lif üretilmesinden kaynaklanıyor olabilir. Bu da Türkiye'de üretilen akrilik liflerin kendi spesialiteleridir ve diğer ülkelerle rekabet edebilecek kalite ve elastik özelliklerde olduğunu göstermektedir.

Uzama ve burulma ile ilgili büyüklükler arasındaki korelasyonlar incelendiğinde kopma uzaması ile kopma yükü arasındaki korelasyon katsayısi $r = -0,42$ dir. Bu durum kopma yükünün artmasıyla kopma uzamasının azaldığı izlenimini vermektedir. Kopma mukavemeti ile Young modülü arasındaki korelasyon katsayısi $r=0,55$ dir. Bu durum esneklik modülünün artmasıyla kopma mukavemetinin arttığı izlenimi yaratmaktadır. Kopma mukavemeti ile burulma modülü arasındaki korelasyon katsayısi $r= 0,74$ ve Young modülü ile burulma modülü arasındaki korelasyon katsayısi $r=0,52$ dir. Bu her iki halde de yani kopma mukavemeti artmasıyla burulma modülünün, Young modülünün artmasıyla burulma modülünün arttığı izlenimi vermektedir. Bu da genel temayüle uygundur; fakat korelasyon katsayılarının yeteneince büyük olmamaları nedeniyle bu ilişkilerin kesin olarak var olduğu söylenemez.

Amorf yapıdaki polimerlerde bazı polimer zincirleri birbirlerine paralel konum alarak sıkı şekilde istiflenirler. Böylece yerel kristalleşme oluşur. Ayrıca amorf bölgeler makromoleküllerin farklı yönlenme durumlarına bağlı olarak anizotrop amorf bölgeler ve izotrop amorf bölgelerden meydana gelmektedir. Makromoleküllerin mümkün derece düzensiz ve yumak şeklinde yakın bir yapı ve yerlesime sahip oldukları amorf bölgelere izotrop amorf bölgeler, makromoleküllerin oldukça düzenli ve açılmış bir

yapı ve yerlesime sahip oldukları amorf bölgelere anizotrop amorf bölgeler denir.

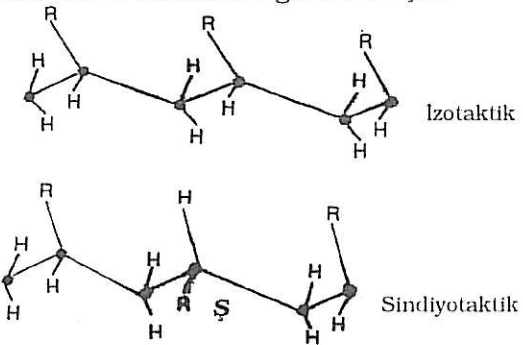
Bilindiği gibi kristal bir katı maddenin ısıtılmak suretiyle katı halden sıvı hale geçiş belirli ve kesin bir tarzda olmaktadır. Katı madde ısıtıldığı zaman erimeye başlar ve bu esnada sıcaklık derecesi her katı için karakteristik olan muayyen bir sıcaklıkta sabit kalır ki, bu sıcaklığı katının erime noktası veya erime sıcaklığı denir. Halbuki amorf bir katı ısıtıldığı zaman gittikçe yumuşamaya başlar ve sıcaklığın artmasıyla ya akmaya başlar ya da bozunarak kararır, karbonize olur. Sonuç olarak amorf katılarda belirli bir erime noktası tespit edilemez.

Çalışmada incelenen akrilik liflerinin termal analiz (DSC) ve erime noktası ölçümleri deneyleri ile erime noktaları tespit edilememiş fakat literatürde belirtilen akrilik liflerin termal özelliklerine yakın davranışlar gözlenmiştir (Harmacioğlu, M., 1984). Dolayısıyla bu liflerin amorf yapıya sahip oldukları söyliyebiliriz. Erimeden bozundukları için de bu lifler poliamid ve poliester liflerinde olduğu gibi, ısıtılp yumusatılarak çekime tabi tutulamazlar. Kuru veya yaş çekimle üretiliblirler.

Polimerlerin zincir konfigürasyonlarında bir düzenlilik varsa bu polimerlere taktik polimerler, düzenlilik yoksa ataktik polimerler denir. Polivinit asetat ataktik yapıda amorf bir polimerdir.

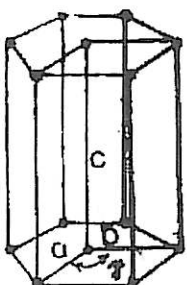
Taktik polimerler izotaktik ve sindiyotaktik diye ikiye ayrılırlar. Eğer tekrarlanan birim -CH₂ - CH ve zig-zag olarak uzatılmış şekilde R

ise, bütün R grupları zincirin aynı tarafında iseler izotaktik, birbirlerini takip eden birimlerde ters tarafta iseler sindiyotatik denir. Şekil 8'de polimer zincir taktisitesi gösterilmiştir.



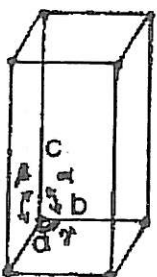
Şekil 8. Polimer zincir taktisitesi

Poliakrilonitril literatüre göre sindiyotaktik zincir konfigurasyonuna sahip olduğunda birim hücre hezagonal yapıya sahip olmaktadır. (Alexander, L.E., 1969). Buna göre birim hücre parametreleri $a = 5,99 \text{ \AA}$; $b = 5,99 \text{ \AA}$; $\alpha = \beta = 90^\circ$; $\gamma = 120^\circ$ dir. Hezagonal birim hücre Şekil 9'da gösterilmiştir. Poliakrilonitril izotaktik zincir konfigurasyonuna sahip olduğunda ise birim hücre tetragonal yapıya sahip olmaktadır (Alexander L.E., 1969). Buna göre birim hücre parametreleri $a=4, 74 \text{ \AA}$; $b = 4, 74 \text{ \AA}$; $c = 2, 55 \text{ \AA}$

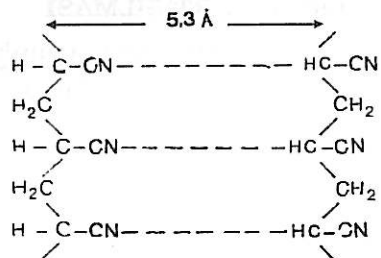


Şekil 9. Hekzagonal yapı

$\alpha = \beta = \gamma = 90^\circ$ dir. Tetragonal birim hücre şekil 10'da gösterilmiştir. Poliakrilonitrilin yüksek olan polimer tabiatı iyi nitelikte lif elde edilmesini sağlamaktadır. Poliakrilonitrilin kimyasal yapısında zincirler arasında kuvvetli hidrojen köprülerinin bulunması birçok çözücüde erimesihe ve elde edilen akrilik lifin belirli bir sıcaklıkta erimesine engel olmaktadır. Şekil 11'de görüldüğü gibi açık formülde uzun zincirler dikey şekilde; hidrojen köprüleri ise yatay şekilde, yer almışlardır.



Şekil 10. Tetragonal Yapı



Şekil 11. Poliakrilonitrilin zincir konfigürasyonu

Akrilik liflerinin bazı iç yapı özelliklerinin incelenmesi için yapılan deneylerden bu liflerin amorf ve kristalin bölgelerinin tayinini sağlayacak bilgi elde edilememiştir. Sonuç olarak kristal ve amorf yapı hakkında tam bir karar verebilmek için örneklerin X - ışını difraksiyonu ve IR - spektroskopisi ile de incelenmesi gerektiği ortaya çıkmıştır.

4. KAYNAKÇA

- AKSA, Akrilik Kimya Sanayii A. Ş. Kataloğu.
- ALEXANDER, L.E., 1969. X - Ray Diffraction Methods In Polymer Science.
- BEER, F.P., JOHNSTON, E. R., 1962. Statics & Dynawics. McGraw- Hill Book Company, Inc., New York. San Francisco. Toronto London.
- FARROW, B., 1956. J. Text. Inst., 47, T 58.
- GÜVEN, O., AKOVALI, G., TOPPARE, L., 1984. Diğer Bazi Polimerleştirme Türlerine Genel Bakış. AKOVALI, G., Temel ve Uygulamalı Polimer. Kısım 5. A.Ü.F.F. Basımevi, Ankara.
- HARMANCIOĞLU, M., 1981. Rejenere ve Sentetik Lifler. Ege Üniversitesi Matbaası, Bornova.
- MARK, H.F., GAYLORD, N.G., BIKALES, N.M., 1969. Acrilic Fibers. Encyclopedia Of Polymer Science and Technology Vol.1. John Wiley & Sons, Inc., New York. London Sydney. Toronto.
- MEREDITH, R., 1954. J. Text. Inst., 45, T 489.
- MORTON, W. E. and HEARLE, J. W. S., 1975. Physical Properties Of Textile Fibers. The Textile Institute, Heinemann, Second Edition, London
- OWEN, J. D., 1965. J. Text. Inst., 56, T 329.
- SEVENTEKİN, N., 1976. Türkiye'deki Sentetik Lif Üretimi ve Bunların Boyanma Problemleri. Yüksek Lisan Tezi. E.Ü. Müh. Fak. Kimya Müh. Bölümü, Bornova.
- SEVENTEKİN, N., 1993. Kimyasal Lifler. E.Ü. Bornova Meslek Yüksekokulu Çoğaltma Yayınları No:1. Bornova.
- ZIMMER - 877 - 07095 - 2 Determination Of The Melting Point Of Polyethylene Terephthalate (Microscope Method).